

清热解毒化浊片对 ETM 兔肝组织 CD14 及 TNF- α 、IL-1 表达的影响

赵国荣^{1*}, 张衍², 何宜荣^{1*}, 艾碧琛¹, 肖碧跃¹, 贺又舜¹, 左亚杰³, 熊焰¹, 陈兰玲³, 尹周安¹

(1.湖南中医药大学中医院,湖南 长沙 410208;2.广西中医药大学第一附属医院,广西 南宁 530023;
3.湖南中医药大学第一附属医院,湖南 长沙 410007)

[摘要] 目的 探讨清热解毒化浊片对内毒素血症(Endotoxemia,ETM)模型兔肝功能、肝组织 CD14 和血清肿瘤坏死因子- α (TNF- α)、白细胞介素-1(IL-1)的影响。方法 将 21 只新西兰大耳白兔随机分为正常组、模型组、清热解毒化浊片组(清化组),每组 7 只。将模型组及清化组兔沿耳缘静脉注射大肠杆菌内毒素(LPS,10 $\mu\text{g}/\text{kg}$),于造模后 2 h 干预,灌胃后 2 h 心脏采血检测家兔的肝功能、TNF- α 和 IL-1 的变化,采肝脏组织检测 CD14 及观察肝脏病理形态。结果 (1)与模型组比较,清化组 ALT、AST 上升($P<0.05$),肝组织 CD14 表达及血清 TNF- α 、IL-1 下降($P<0.05$);(2)模型组肝细胞排列结构紊乱,有炎性细胞浸润,且出现空泡样改变,清化组及正常组改变不明显。结论 清热解毒化浊片能下调 ETM 模型兔 CD14、TNF- α 和 IL-1 的表达,具有多靶点、多效应的干预作用,推测其有阻断早期 LPS 诱导信号通路的作用。

[关键词] 内毒素血症;清热解毒化浊片;CD14;肿瘤坏死因子- α ;白细胞介素-1;茵陈;黄芩;滑石

[中图分类号]R285.5

[文献标识码]A

[文章编号]doi:10.3969/j.issn.1674-070X.2016.09.006

Effect of Qingre Jiedu Huazhuo Tablets on Expression of CD14 in Liver Tissue, TNF- α and IL-1 of ETM Rabbits

ZHAO Guorong^{1*}, ZHANG Kan², HE Yirong^{1*}, AI bichen¹, XIAO Biyue¹, HE Youshun¹, ZUO Yajie³, XIONG Yan¹, Chen Lanling³, YIN Zhouan¹

(1. College of TCM, Hunan University of Chinese Medicine, Changsha, Hunan 410208, China; 2. The First Affiliated Hospital of Guangxi University of Chinese Medicine, Nanning, Guangxi 530023, China; 3. The First Affiliated Hospital of Hunan University of Chinese Medicine, Changsha, Hunan 410007, China)

[Abstract] **Objective** To investigate the effect of Qingre Jiedu Huazhuo (QJH) tablets on the expression of CD14, TNF- α and IL-1 in liver tissue of ETM rabbits. **Methods** The 21 New Zealand big-eared rabbits were randomly divided into normal group, model group, QJH tablets group, 7 in each group. The ear edge of model group and QJH group was given intravenous injection of 10 $\mu\text{g}/\text{kg}$ endotoxin. After 2 hours of modeling, the rabbits were given intervention. Then, the liver function, TNF- α and IL-1 were tested. The CD14 in liver tissue was determined and the pathological morphology was observed. **Results** (1) Compared with the model group, the ALT and AST of QJH tablets group were increased ($P<0.05$). The CD14 expression in liver tissue and serum TNF- α and IL-1 were decreased ($P<0.05$). (2) The liver cell array structure of model group was disorder with inflammatory cells infiltration and a cavity change, but the changes in QJH tablets group and blank group were not obvious. **Conclusion** Qingre Jiedu Huazhuo tablets with multi-point target and multi-effects can decrease CD14, TNF- α and IL-1 in ETM rabbits, suggesting the tablets have an effect on the signaling pathway induced by LPS in the early days.

[Keywords] endotoxemia; Qingre Jiedu Huazhuo tablets; CD14; TNF- α ; IL-1; oriental wormwood; radix scutellariae; talc

研究团队前期对清热解毒化浊片(简称化浊片)进行了大量临床及实验研究,证实其不仅可用于治疗病毒性肝炎肝损伤,还可清除内毒素^[1-3]。本实验以

内毒素血症(Endotoxemia,ETM)兔为研究对象,观察清热解毒化浊片对家兔肝功能、CD14、TNF- α 、IL-1 及肝脏病理形态的影响,以期为该药临床运用

[收稿日期]2015-12-06

[基金项目]湖南省教育厅重点项目资助(12A101);湖南中医药大学中医临床基础重点学科资助;湖南中医药大学校级青年基金(校行科字[2013]4 号)资助。

[通讯作者]* 赵国荣,女,二级教授,主任医师,E-mail:zhaoguorong1116@sina.com;何宜荣,男,讲师,主治医师,E-mail:260124907@qq.com。

提供新的实验依据。

1 材料与方法

1.1 材料

1.1.1 实验动物 普通级新西兰大耳白兔,雌雄不限,体质量1.8~2.5 kg,由长沙市东创实验动物科技服务部提供。动物许可证号:SCXK(湘)2009-0012。

1.1.2 药物 清热解毒化浊片(湖南中医药大学第一附属医院制剂室提供,批号:20100908),规格为0.3 g/片,成人一般剂量为10片/次,3次/d,一天剂量为9 g。根据《中医科研设计与统计学》^[4]将清热解毒化浊片配制成浓度为0.04 g/mL的药液(下称药液)。免灌胃量为0.4 g/kg。药液放4 ℃冰箱保存。

1.1.3 主要试剂与仪器 (1)试剂 大肠杆菌内毒素(Esch erichia coil 0111:B4,美国Sigma-Aldrich公司,批号:118K4052)、鳌试剂盒(美国ACC北京科德角生物技术有限公司代理,批号:249018)、兔Anti-NF-kBp65(批号:306428)、SABC免疫组化染色试剂盒(兔IgG批号:SA1022)、DAB显色剂试剂盒(批号:AR1022)、抗体稀释液(批号:C-0007)均购自武汉博士德生物工程有限公司。(2)仪器 MK3酶标仪,芬兰LABSYSTBA集团;TDZ5-4.0多管架自动平衡离心机,长沙天创仪器制造有限公司。

1.2 方法

1.2.1 分组及造模^[5] 将21只兔随机分为3组,即正常组、模型组、清热解毒化浊片组(简称清化组),每组7只。家兔正常饲养3 d,每天测量肛温3次,取平均值为基础体温,并记录各组家兔的一般情况^[5],第3天开始造模,将模型组、清化组按10 μ g/kg经耳缘静脉注射内毒素,正常组注入同体积无菌生理盐水。

1.2.2 药物干预及标本采集 根据前期实验^[6-7],造模后至2 h每20分钟测量体温1次,并记录开始发热时间,兔在2 h内,体温升高,心率、呼吸增快,耸毛、发抖、喷嚏。造模2 h时,清化组用清热解毒化浊片药液10 mL/kg灌胃1次;正常组与模型组分别以10 mL/kg温开水灌胃1次。灌胃后同样每20分钟测1次体温,并记录各组兔症状、体征。

灌胃后2 h,清化组体温下降,心率、呼吸恢复正常,耸毛、发抖、喷嚏等消失,但与之相对应的模型组体温仍在升高,心率、呼吸恢复加快,耸毛、发抖、喷嚏等症仍存,此时对正常组、模型组、清化组兔进行心脏采血,每只兔分别用肝素钠抗凝管两支各取血3 mL用于检测肝功能、TNF- α 、IL-1。取血完毕后,从耳缘静脉注入乌拉坦3 mL/kg,在麻醉状态下取肝脏右下叶组织,备做病理形态、免疫组化检测CD14。

1.3 检测指标及方法

1.3.1 肝功能测定 由湖南中医药大学第一附属医院检验科测定。

1.3.2 TNF- α 、IL-1检测 将各组血清标本,按照试剂盒说明书进行TNF- α 、IL-1检测。

1.3.3 免疫组化检测 CD14 将切片脱蜡至水。按照盒试剂盒说明书进行相关操作。最后苏木精复染2 min,盐酸酒精分化后自来水冲洗10~15 min,脱水、透明、封片、400倍光学显微镜下观察拍片。用Image-Pro Plus 6.0软件分析得出CD14的平均光密度值。

1.3.4 肝细胞HE染色 取肝脏右叶组织,以4%多聚甲醛溶液固定24 h,石蜡包埋切片,然后使用平推式切片机连续切片,切片载入载玻片后予行HE染色,染色时间为10 min左右,切片厚度约5 μ m,400倍光学显微镜下随机选取3个视野观察拍片。

1.4 统计学处理

实验数据以SPSS 16.0统计软件进行统计分析。全部计量资料以“ $\bar{x}\pm s$ ”表示,首先进行正态性、方差齐性检验。满足正态性者,不同组间比较采用单因素方差分析(One-Way ANOVA),并进行组间的多重比较;方差齐时选择LSD法,方差不齐时选择Dunnett T3法;不满足正态性时选择秩和检验。以P<0.05为有统计学意义。

2 结果

2.1 清热解毒化浊片对家兔内毒素血症肝功能的影响

造模后,模型组与正常组比较,模型组ALT、AST均下降,差异有统计学意义(P<0.05);治疗后,清化组与模型组比较,清化组ALT、AST均上升,差异有统计学意义(P<0.05)。结果见表1。

表1 清热解毒化浊片对肝功能的影响 ($\bar{x}\pm s, n=7, \text{U/L}$)

| 组别 | ALT | AST |
|-----|-----------------------|-----------------------|
| 正常组 | 55.2±3.49 | 50.3±4.25 |
| 模型组 | 49.6±4.83 $^{\Delta}$ | 45.2±3.82 $^{\Delta}$ |
| 清化组 | 56.7±1.2 $^{\nabla}$ | 49.6±2.1 $^{\nabla}$ |

注:与正常组比, $^{\Delta}P<0.05$;与模型组比, $^{\nabla}P<0.05$ 。

2.2 清热解毒化浊片对家兔内毒素血症肝脏组织CD14及血清细胞因子的影响

造模后,模型组与正常组比较,模型组肝脏组织CD14、血清TNF- α 、IL-1水平均上升,差异有统计学意义(P<0.05);经过治疗后,清化组与模型组比较,清化组肝脏组织CD14、血清TNF- α 、IL-1水平均下降,差异有统计学意义(P<0.05)。结果见表2。

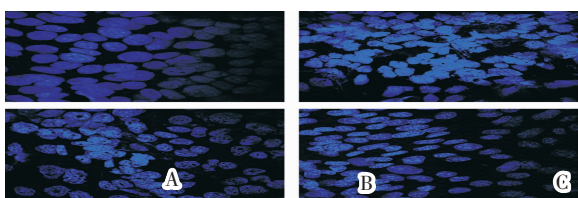
从免疫组化图中可见,正常组肝脏没有CD14

表2 清热解毒化浊片对肝脏组织CD14以及

| 组别 | 血清TNF- α 、IL-1的影响 | | $(\bar{x} \pm s, n=7)$ |
|-----|--------------------------|----------------------|------------------------|
| | CD14 | TNF- α (ng/L) | |
| 正常组 | 1.17±0.29 | 56.7±8.4 | 4.40±0.96 |
| 模型组 | 2.56±0.22 Δ | 75.8±16.3 Δ | 9.94±2.40 Δ |
| 清化组 | 1.28±0.41 Δ | 58.7±7.0 Δ | 5.30±1.01 Δ |

注:与正常组比较, $\Delta P<0.05$;与模型组比较, $\Delta P<0.05$ 。

阳性表达(图1-A),模型组周围肝血窦及肝细胞有CD14阳性大量表达(图1-B);清化组有少量CD14阳性表达(图1-C)。

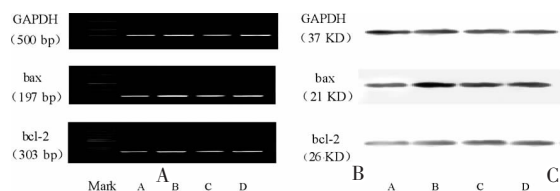


注:A、B、C分别为正常组、模型组、清化组。

图1 肝脏组织CD14表达光镜图(免疫组化×400)

2.3 清热解毒化浊片对家兔ETM肝损伤肝脏病理形态学的影响

正常组肝组织结构正常,未见变性、坏死炎细胞浸润(图2-A);模型组肝细胞排列结构紊乱,有炎性细胞浸润,且肝细胞出现空泡样改变(图2-B);清化组炎细胞浸润、肝细胞肿大及空泡样变性不明显(图2-C)。



注:A、B、C分别为正常组、模型组、清化组。

图2 肝脏病理形态学光镜图(HE×400)

3 结论

LPS进入机体刺激并促发细胞上TLR4信号通路CD14等表达引起细胞内信号传递,编码一系列炎症因子,释放TNF- α 、IL-1等炎症介质。本实验中清化组的CD14、TNF- α 、IL-1较模型对照组明显降低,且有显著性差异,与正常组比较无显著性差异,说明清热解毒化浊片可以下调CD14的表达,减少LPS的识别及跨膜信号转导,从而使促炎因子TNF- α 的表达减少,可避免后续细胞因子的瀑布式释放及抗炎/促炎失衡。清化组下游促炎因子IL-1的合成减少,也证实清热解毒化浊片对信号通路中CD14、TNF- α 、IL-1起到调控作用。

肝脏作为人体内唯一代谢内毒素的器官,内毒素及各种炎症介质直接或间接造成肝功能损伤,而出现肝功能改变,但因为此实验为急性试验,攻毒时间不长,故肝功能损伤不是很重。但从肝脏病理形态上发现其损伤还是较重,病理形态图片显示:模型组肝细胞排列结构紊乱,有炎性细胞浸润,且肝细胞出现空泡样改变。经过清热解毒化浊片治疗后清化组炎细胞浸润、肝细胞肿大及空泡样变性不明显。实验结果还显示,在内毒素血症早期使用清热解毒化浊片干预后,内毒素水平下降,肝细胞ALT、AST升高恢复活性,血浆内毒素及肝脏组织结构受损呈平行关系。由于清热解毒化浊片可使CD14表达下调,从而减少前炎症细胞因子生成与释放,内皮细胞激活受限,致使白细胞浸润和微血栓不能形成及炎症反应进一步放大被阻断;清化组TNF- α 、IL-1下降,ALT、AST活性恢复升高。因此清热解毒化浊片治疗内毒素血症肝损伤调控TLR4信号通路是多靶点的整体调节。

在前期的实验研究中,无论是急性、慢性肝病,基本病机为“湿、热、毒、浊”^[2]。因此有人研究发现温病卫、气、营、血阶段中均存在内毒素血症^[7],并且与温病卫气营血辨证具有相关性^[6],故本研究攻毒后2 h相当于卫分证阶段,在该时期初期使用清热解毒,化浊利湿之法,以达到驱邪外出并促进机体自身免疫功能恢复的目的。清热解毒化浊片中有茵陈、滑石、黄芩三药清热利湿;石菖蒲、藿香辟秽和中,宣湿浊之壅滞;白蔻仁芳香悦脾,令气畅而湿行;木通清利湿热,导湿热从小便而去;连翘、贝母清热解毒、散结消肿。诸药合用,重在清热利湿,使湿邪得去,热毒得清,气机调畅。

参考文献:

- [1] 赵国荣,曹军连,谢静,等.不同剂量清热解毒化浊片对大鼠免疫性肝损伤治疗作用的对比研究[J].中西医结合肝病杂志,2004,14(1):23-25.
- [2] 谢静,赵国荣,熊焰,等.清热解毒化浊片对慢性病毒性肝炎湿热内蕴证、肝郁脾虚证疗效的研究[J].湖南中医学院学报,2003,23(6):33-35.
- [3] 肖碧跃,越国荣,艾碧琛,等.清热解毒化浊片对病毒性肝炎肝损害疗效观察[J].湖南中医药大学学报,2010,30(7):49-50.
- [4] 贺石林,王建,王净净.中医科研设计与统计学[M].长沙:湖南科学技术出版社,2003:20-21.
- [5] 艾碧琛,赵国荣,贺又舜,等.探讨内毒素血症兔复制卫气营血可能性的实验体会[J].中医药信息,2011,28(5):23-25.
- [6] 赵国荣,艾碧琛,贺又舜,等.内毒素血症兔症状、体征动态变化与卫气营血传变的相关性[J].中医杂志,2011,52(15):1305-1307.
- [7] 杨爱东,曾兰,屠燕捷,等.不同治法对内毒素血症小鼠肺组织细胞因子的影响[J].辽宁中医杂志,2007,34(3):358-360.

(本文编辑 杨瑛)